
ΠΟΛΥΤΕΧΝΕΙΟ ΚΡΗΤΗΣ
ΣΧΟΛΗ ΗΜΜΥ
Τηλεπικοινωνιακά Συστήματα Ι
Παράδοση 2ης εργασίας
Ημερομηνία Παράδοσης: 25/05/2024

Ομάδα 120

Επώνυμο	Δήμας	Λαμπράκης
Όνομα	Χρήστος	Μιχάλης
A.M.	2021030183	2020030077

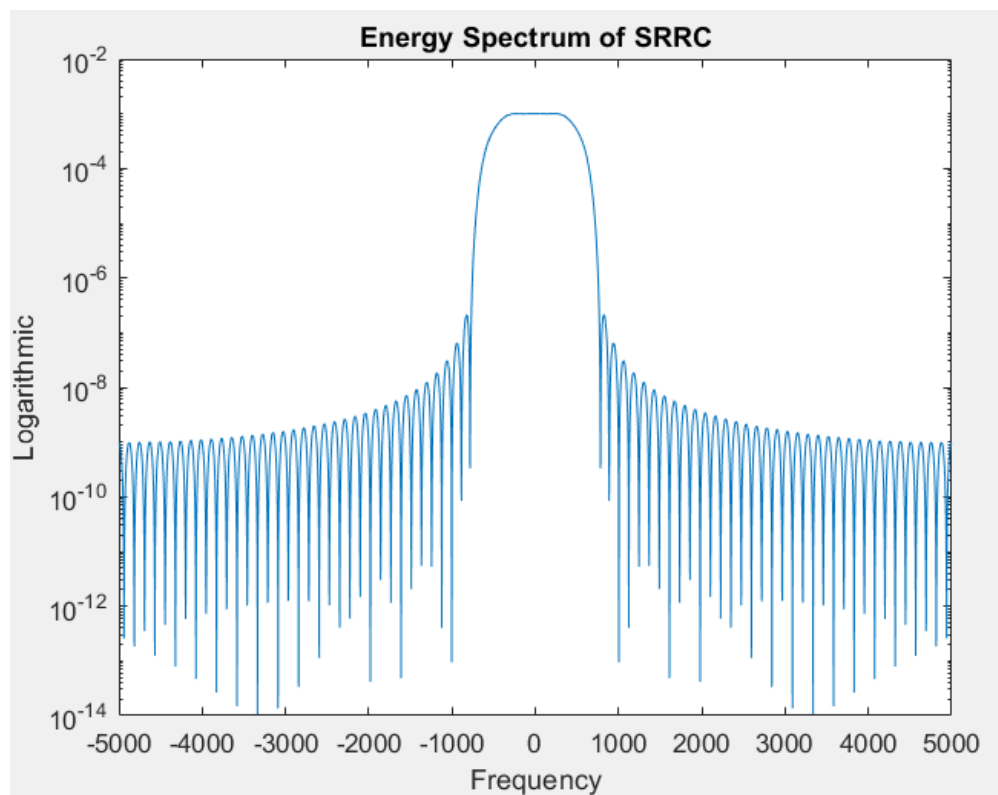
Πλήθος ωρών ενασχόλησης:15

A.1 Να δημιουργήσετε παλμό SRRC $\phi(t)$ με τιμές $T = 10^{-3} \text{sec}$, $over = 10$, $T_s = \frac{T}{over}$, $A = 4$, και $\alpha = 0.5$.

(10) Μέσω των συναρτήσεων `fftshift` και `fft`, να υπολογίσετε το μέτρο του μετασχηματισμού Fourier της $\phi(t)$, $|\Phi(F)|$, σε N_f ισαπέχοντα σημεία στο διάστημα $[-\frac{F_s}{2}, \frac{F_s}{2}]$. Να σχεδιάσετε τη φασματική πυκνότητα ενέργειας $|\Phi(F)|^2$ στον κατάλληλο άξονα συχνοτήτων με χρήσης της εντολής `semilogy`.

Λύση:

Έγινε χρήση της συνάρτησης `srrc_pulse.m` και επιλέγοντας τιμή $N_f = 4096$ (για να μην υπάρξουν παραμορφώσεις).



και ο κώδικας Matlab:

```
1 clear all;
2 close all;
3 %% Variable decleration
4 T = 0.001;
5 over = 10;
6 Ts = T / over;
7 Fs = 1 / Ts;
8 A = 4;
```

```

9  a = 0.5;
10 K = 500;
11 N = 100;
12 Nf = 4096;
13 %% A.1
14
15 % Pulse generator
16 grid on;
17 hold on;
18 [phi, t] = srrc_pulse(T, over, A, a);
19 plot(t, phi);
20 xlim([-A*T A*T]);
21 title("SRRC Pulse");
22 xlabel("Time");
23 ylabel("\phi(t)");
24 hold off;
25
26 % Frequency Range
27 f_axis = linspace(-Fs/2, (Fs/2-Fs/Nf), Nf);
28 % Fourier Transform
29 phi_F = fftshift(fft(phi, Nf)*Ts);
30 abs_phi_F = abs(phi_F);
31 phi_Energy = power(abs_phi_F, 2);
32 figure;
33 semilogy(f_axis, phi_Energy);
34 title("Energy Spectrum of SRRC");
35 xlabel("Frequency");
36 ylabel("Logarithmic");
37 xlim([-Fs/2 Fs/2]);

```

A.2 Να δημιουργήσετε ακολουθία $N = 100$ ανεξάρτητων και ισοπίθανων $bits\{b_0, \dots, b_{N-1}\}$. Χρησιμοποιώντας την απεικόνιση

$$0 \rightarrow +1,$$

$$1 \rightarrow -1,$$

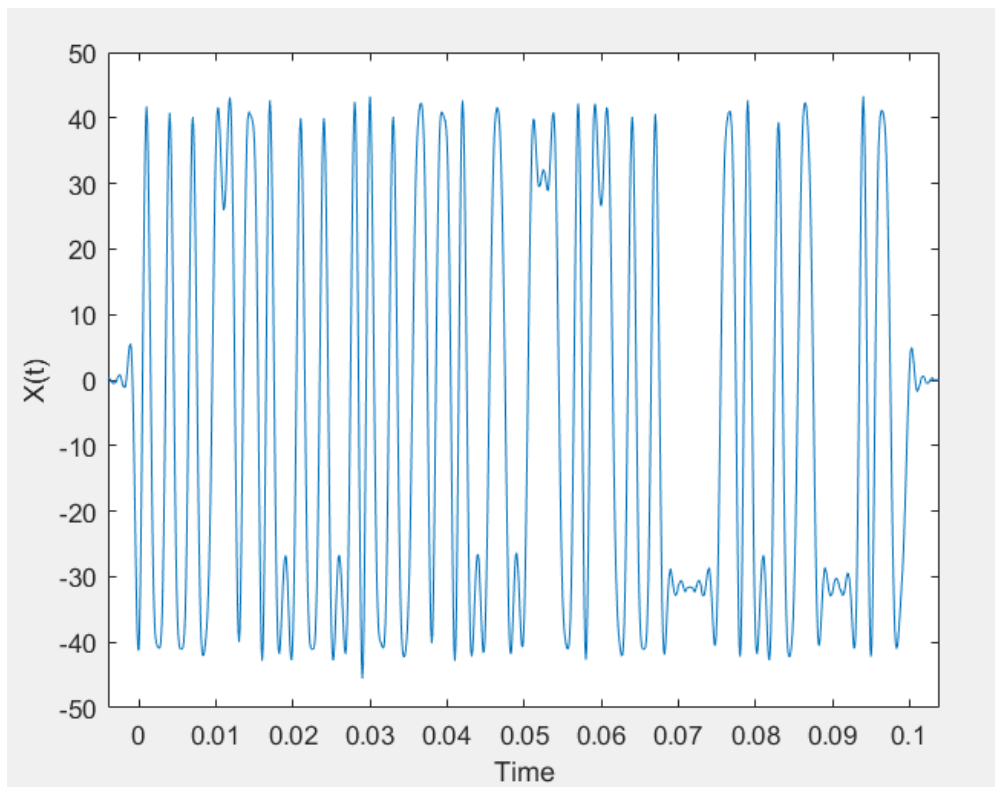
να απεικονίσετε τα bits σε σύμβολα X^n για $n = 0, \dots, N - 1$.

Να κατασκευάσετε την κυματομορφή:

$$X(t) = \sum_{n=0}^{N-1} X_n \phi(t - nT).$$

Λύση:

Αρχικά δημιουργήθηκε η ακολουθία bits και έπειτα μέσω της συνάρτησης *bits_to_2PAM* μετατράπηκαν σε 2-PAM σύμβολα.



και ο κώδικας Matlab:

```
1 %% A.2
2
3 % 2-PAM bits generator
4 b = (sign(randn(N, 1)) + 1)/2;
5 x = bits_to_2PAM(b);
6
7 % Upsample the 2-PAM bit vector
8 upsample_x = (1/Ts)*upsample(x, over);
9 upsample_x_time = 0:Ts:N*T-Ts;
10
11 % Convolution of X and phi to compute the sum
12 X = conv(upsample_x, phi)*Ts;
13 X_time = upsample_x_time(1)+t(1):Ts:upsample_x_time(end)+t(end);
14 figure;
15 plot(X_time, X);
16 xlabel("Time");
17 ylabel("X(t)");
18 xlim([X_time(1) X_time(end)]);
```

Υποθέτοντας ότι το πλήθος των συμβόλων είναι άπειρο, αποδείξαμε ότι η φασματική πυκνότητα ισχύος του $X(t)$ είναι:

$$S_X(F) = \frac{\sigma_X^2}{T} |\Phi(F)|^2.$$

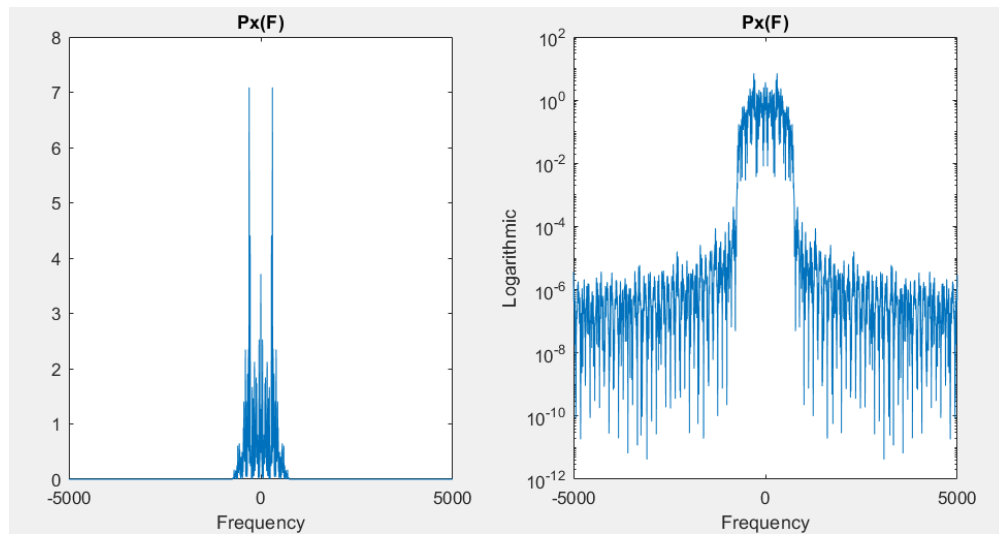
A.3 (10) Με την χρήση των συναρτήσεων `fft` και `fftshift` να υπολογίσετε το περιοδόγραμμα μίας υλοποίησης της $X(t)$:

$$P_X(F) = \frac{|F(X(t))|^2}{T_{\text{total}}}.$$

Να σχεδιάσετε το $P_X(F)$ με χρήση `plot` και `semilogy`.

Λύση:

Παρακάτω παρουσιάζεται το περιοδόγραμμα $P_X(F)$ σε δεκαδική και λογαριθμική κλίμακα:



και ο κώδικας Matlab:

```
1 %% A.2
2
3 % 2-PAM bits generator
4 b = (sign(randn(N, 1)) + 1)/2;
5 x = bits_to_2PAM(b);
6
7 % Upsample the 2-PAM bit vector
8 upsample_x = (1/Ts)*upsample(x, over);
9 upsample_x_time = 0:Ts:N*T-Ts;
10
11 % Convolution of X and phi to compute the sum
12 X = conv(upsample_x, phi)*Ts;
13 X_time = upsample_x_time(1)+t(1):Ts:upsample_x_time(end)+t(end);
14 figure;
15 plot(X_time, X);
16 xlabel("Time");
17 ylabel("X(t)");
18 xlim([X_time(1) X_time(end)]);
```

(10) Να εκτιμήσετε τη φασματική πυκνότητα ισχύος υπολογίζοντας αριθμητικές μέσες τιμές πάνω σε K (ενδεικτικά, $K=500$) υλοποιήσεις περιοδογραμμάτων. Να σχεδιάσετε σε κοινό semilogy την εκτίμηση και τη θεωρητική φασματική πυκνότητα ισχύος.

Λύση:

Έγιναν οι κατάλληλοι υπολογισμοί μέσω Matlab και η εκτίμηση που πραγματοποιήθηκε συγκρίνεται με την θεωρητική φασματική πυκνότητα ισχύος η οποία προκύπτει από τον παραπάνω τύπο.

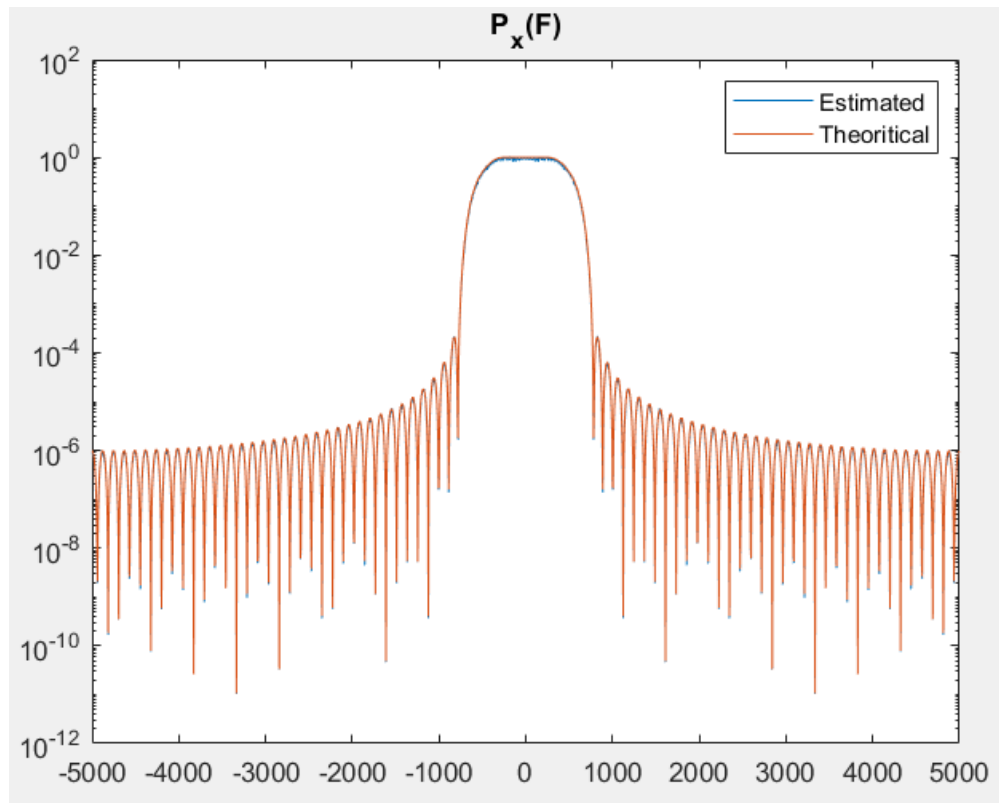
Ο υπολογισμός της διασποράς σ_X^2 προκύπτει ως εξής:

$$\sigma_X^2 = E[(X_n - E(X_n))^2] = E[X_n^2] = 1$$

Διότι:

$$E[X_n^2] = \sum x^2 p_x = (1)^2 \frac{1}{2} + (-1)^2 \frac{1}{2} = 1$$

Παρακάτω απεικονίζονται σε κοινό διάγραμμα ώστε να πραγματοποιηθεί η σύγκρισή τους:



και ο κώδικας Matlab:

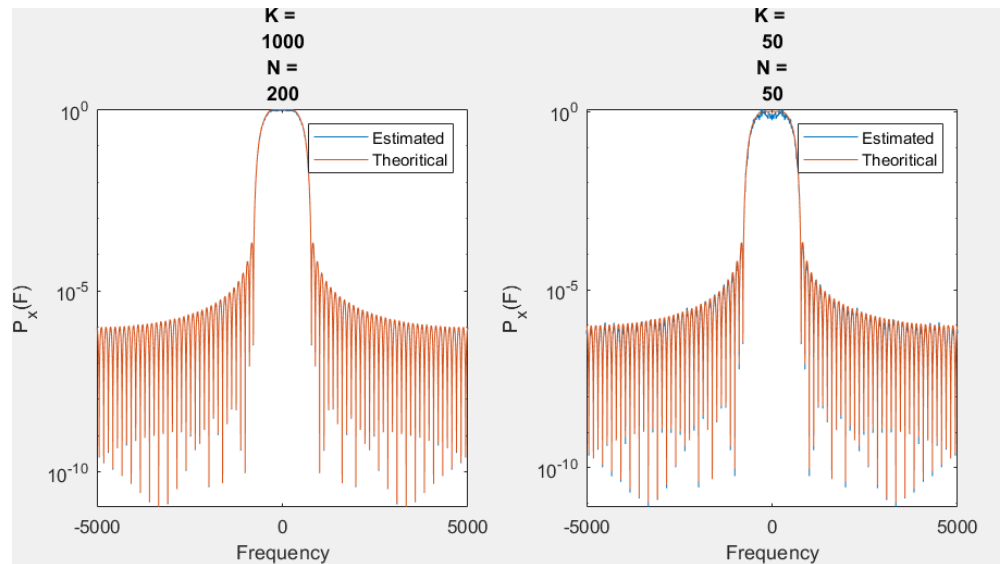
```
1 %% A.3
2 %-----2-----
3 Px_F_total = 0;
4 for i=1:K
5     % 2-PAM bits generator
6     b = (sign(randn(N, 1)) + 1)/2;
7     x = bits_to_2PAM(b);
8
9     % Upsample the 2-PAM bit vector
10    upsample_x = (1/Ts)*upsample(x, over);
11    %upsample_x_time = 0:Ts:N*T-Ts;
12
13    % Convolution of X and phi to compute the sum
14    X = conv(upsample_x,phi)*Ts;
15    %X_time =
16        upsample_x_time(1)+t(1):Ts:upsample_x_time(end)+t(end);
17
18    % Create the periodogram
19    X_F = fftshift(fft(X, Nf)*Ts);
20    num = power(abs(X_F),2);
21    T_total = X_time(end) - X_time(1);
22    Px_F_total = Px_F_total + (num/T_total);
23 end
24 Px_F_estimated = Px_F_total/K;
25 Px_F_theoritcal = 1/T*phi_Energy;
26 figure;
27 semilogy(f_axis,Px_F_estimated);
28 hold on;
29 semilogy(f_axis,Px_F_theoritcal);
30 legend("Estimated","Theoritcal");
31 title("P_x(F)");
32 xlim([-Fs/2 Fs/2]);
33 hold off;
```


(10) Όσο αυξάνετε το K και το N, θα πρέπει η προσέγγιση να γίνεται καλύτερη. Συμβαίνει αυτό στα πειράματά σας; Μπορείτε να εξηγήσετε αυτό το φαινόμενο;

Λύση:

Παρατηρούμε ότι για K=500 που χρησιμοποιήθηκε παραπάνω η προσέγγιση είναι αρκετά καλή καθώς οι διακυμάνσεις των δύο γραφικών παρουσιάζουν μεγάλη ομοιότητα.

Χρησιμοποιώντας τον ίδιο κώδικα και αλλάζοντας τις τιμές των παραμέτρων N και K προκύπτουν τα παρακάτω διαγράμματα:



και ο κώδικας Matlab:

```
1 %% A.3
2 %-----3-----
3 K_options = [1000; 50];
4 N_options = [200; 50];
5 figure;
6 for i=1:length(K_options)
7     Px_F_total = 0;
8     K_3 = K_options(i);
9     N_3 = N_options(i);
10    for j=1:K_3
11        % 2-PAM bits generator
12        b = (sign(randn(N_3, 1)) + 1)/2;
13        x = bits_to_2PAM(b);
14
15        % Upsample the 2-PAM bit vector
```

```

16     upsample_x = (1/Ts)*upsample(x, over);
17     upsample_x_time = 0:Ts:N_3*T-Ts;
18
19     % Convolution of X and phi to compute the sum
20     X = conv(upsample_x,phi)*Ts;
21     X_time =
22         upsample_x_time(1)+t(1):Ts:upsample_x_time(end)+t(end);
23
24     % Create the periodogram
25     X_F = fftshift(fft(X, Nf)*Ts);
26     num = power(abs(X_F),2);
27     T_total = X_time(end) - X_time(1);
28     Px_F_total = Px_F_total + (num/T_total);
29
30 end
31 Px_F_estimated_3 = Px_F_total/K_3;
32 Px_F_theoritical = 1/T*phi_Energy;
33
34 subplot(1,2,i);
35 semilogy(f_axis,Px_F_estimated_3);
36 hold on;
37 semilogy(f_axis,Px_F_theoritical);
38 legend("Estimated","Theoritical");
39 ylabel("P_x(F)");
40 xlabel("Frequency");
41 title(["K = ",K_3," N = ",N_3])
42 xlim([-Fs/2 Fs/2]);
43 hold off;
44 end

```

Όπως επιβεβαιώνεται και από τα παραπάνω διαγράμματα, όσο αυξάνετε το K και το N , η προσέγγιση γίνεται καλύτερη. Αυτό συμβαίνει διότι τα περιοδογράμματα ακολουθούν κανονική κατανομή, όπως και τα bits τα οποία κωδικοποιούνται και καταλήγουμε στην $X(t)$, οπότε όσο μεγαλύτερο γίνεται το δείγμα τόσο καλύτερη και πιο ακριβής γίνεται η προσέγγιση.

A.4 Χρησιμοποιώντας την απεικόνιση:

$00 \rightarrow +3,$

$01 \rightarrow +1,$

$11 \rightarrow -1,$

$10 \rightarrow -3,$

να κατασκευάσετε την ακολουθία 4-PAM X_n , για $n = 0, \dots, \frac{N}{2} - 1$.

Λύση:

Αρχικά κατασκευάστηκε η συνάρτηση *bits_to_4PAM*:

```
1 function [x] = bits_to_4PAM(b)
2
3 for i = 1:2:length(b)
4     bits = b(i:i+1);
5     if isequal(bits, [0;0])
6         x((i+1)/2) = +3;
7     elseif isequal(bits, [0;1])
8         x((i+1)/2) = +1;
9     elseif isequal(bits, [1;1])
10        x((i+1)/2) = -1;
11    elseif isequal(bits, [1;0])
12        x((i+1)/2) = -3;
13    end
14 end
15 end
```

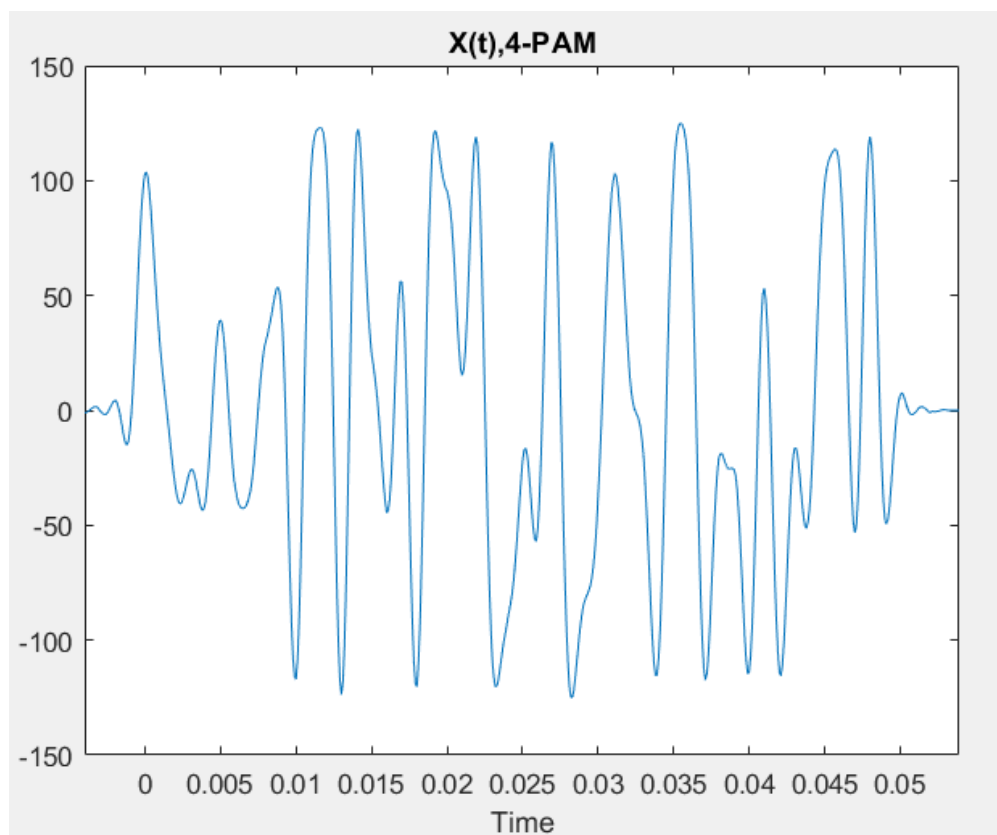
Να κατασκευάσετε την κυματομορφή:

$$X(t) = \sum_{n=0}^{\frac{N}{2}-1} X_n \phi(t - nT).$$

χρησιμοποιώντας την ίδια περίοδο T με το ερώτημα **A.2**.

Λύση:

Όμοια με το ερώτημα **A.2**:



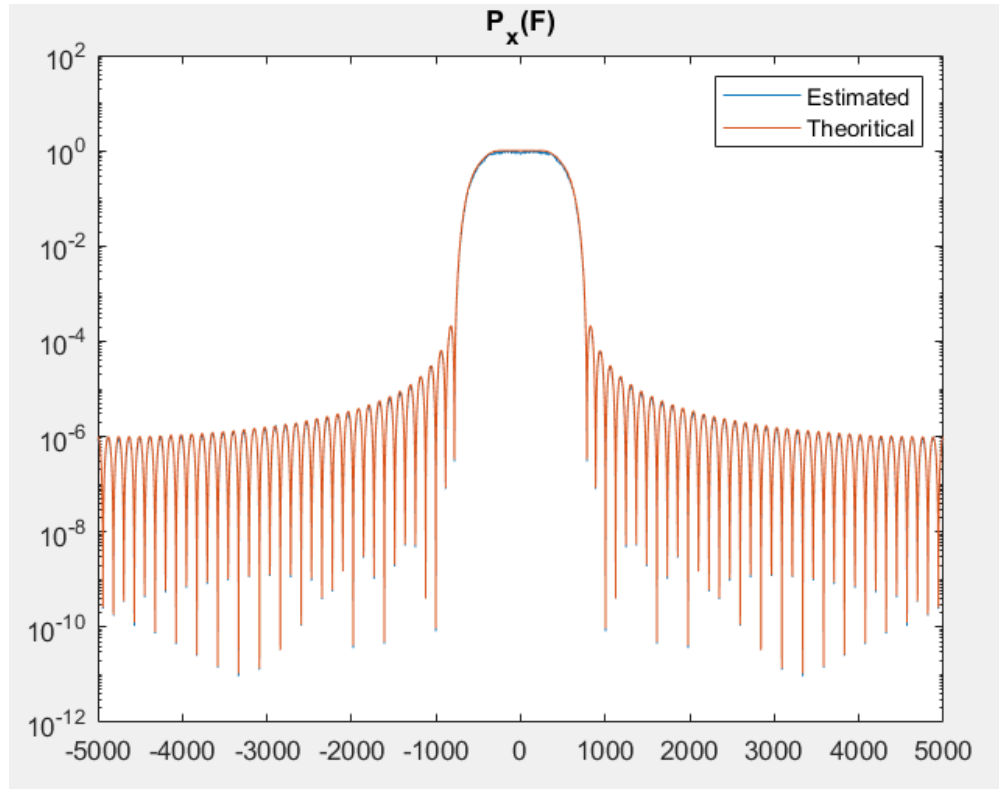
(10) Να υπολογίσετε το περιοδόγραμμα και να εκτιμήσετε τη φασματική πυκνότητα ισχύος μέσω αριθμητικών μέσων τιμών υλοποιήσεων περιοδογραμμάτων της $X(t)$. Να σχεδιάσετε την πειραματική και την θεωρητική φασματική πυκνότητα ισχύος στο ίδιο semilogy. Τι παρατηρείτε;

Λύση:

Παρομοίως με το ερώτημα **A.3**, πραγματοποιήθηκε η εκτίμηση της φασματικής πυκνότητας ισχύος. Έπειτα, για να βρεθεί η αντίστοιχη θεωρητική φασματική πυκνότητα ισχύος, ξαναχρησιμοποιήθηκε ο τύπος του **A.3**, με την διαφορά ότι η νέα διασπορά σ_X^2 είναι:

$$\sigma_X^2 = E(X_n^2) = \sum x^2 p_x = (1)^2 \frac{1}{4} + (-1)^2 \frac{1}{4} + (3)^2 \frac{1}{4} + (-3)^2 \frac{1}{4} = 5$$

Τέλος σχεδιάστηκαν και οι δύο σε ένα κοινό διάγραμμα με λογαριθμική κλίμακα.



Παρατηρούμε όμοια συμπεριφορά με το ερώτημα **A.3**, για το πλήθος των περιοδογραμμάτων $K=500$ που χρησιμοποιήθηκαν για την εκτίμηση.

και ο κώδικας Matlab:

```

1 %% A.4
2 %-----1-----
3 P_x_4PAM_total = 0;
4 for i=1:K
5     % 2-PAM bits generator
6     b = (sign(randn(N, 1)) + 1)/2;
7     x = bits_to_4PAM(b);
8
9     % Upsample the 2-PAM bit vector
10    x_up = (1/Ts)*upsample(x, over);
11    x_up_time = 0:Ts:(N/2)*T-Ts;
12
13    % Convolution of X and phi to compute the sum
14    X = conv(x_up, phi)*Ts;
15    X_time = x_up_time(1)+t(1):Ts:x_up_time(end)+t(end);
16
17    % Fourier transform of X(t)
18    x_F_4PAM = fftshift(fft(X, Nf)*Ts);

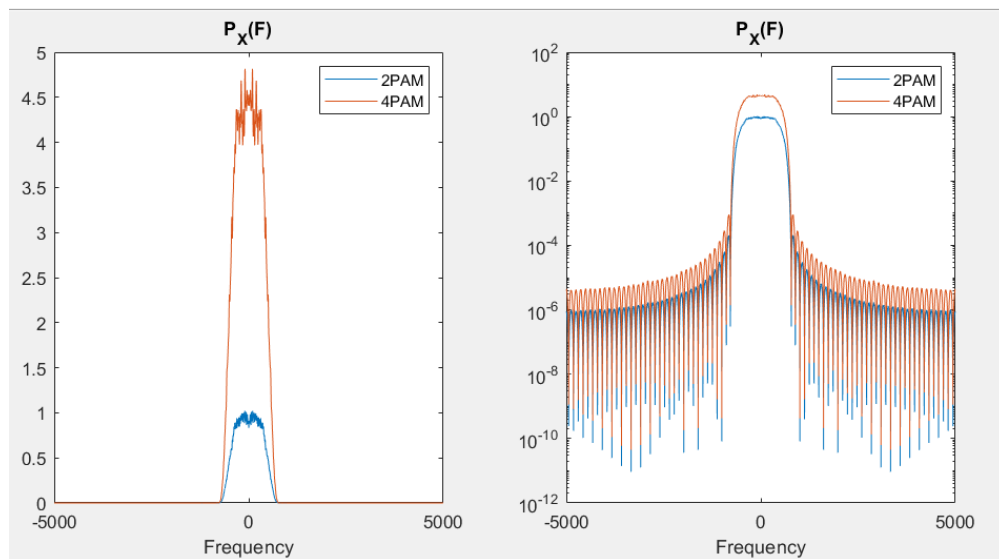
```

```

19
20 % Create the periodogram
21 T_total = X_time(end) - X_time(1);
22 P_x_4PAM_num = power(abs(x_F_4PAM),2);
23 P_x_4PAM_total = P_x_4PAM_total + (P_x_4PAM_num/T_total);
24 end
25
26 Px_F_estimated_4PAM = P_x_4PAM_total/K;
27 Px_F_theoritical_4PAM = 5/T*phi_Energy;
28
29 figure;
30 semilogy(f_axis,Px_F_estimated);
31 hold on;
32 semilogy(f_axis,Px_F_theoritical);
33 legend("Estimated","Theoritical");
34 title("P_x(F)");
35 xlim([-Fs/2 Fs/2]);
36 hold off;

```

(10) Πώς συγκρίνεται, ως προς το εύρος φάσματος και ως προς το μέγιστο πλάτος τιμών, η φασματική πυκνότητα ισχύος της $X(t)$ σε σχέση με αυτή της $X(t)$ του βήματος **A.2**; Μπορείτε να εξηγήσετε τα αποτελέσματα της σύγκρισης;



Αύση:

Απεικονίσαμε σε κοινό plot και semilogy τις φασματικές πυκνότητες ισχύος 2-PAM και 4-PAM. Παρατηρούμε ότι το εύρος φάσματος και των δύο είναι ίδιο αφού $BW = \frac{1+\alpha}{2T}$, το οποίο εξαρτάται μόνο από την συχνότητα T και το α . Στην συνέχεια, Παρατηρούμε ότι το μέγιστο

πλάτος των τιμών της 4-PAM είναι σχεδόν 5 φορές μεγαλύτερο έναντι με αυτού της 2-PAM και αυτό συμβαίνει διότι η διασπορά της 4-PAM είναι μεγαλύτερη.

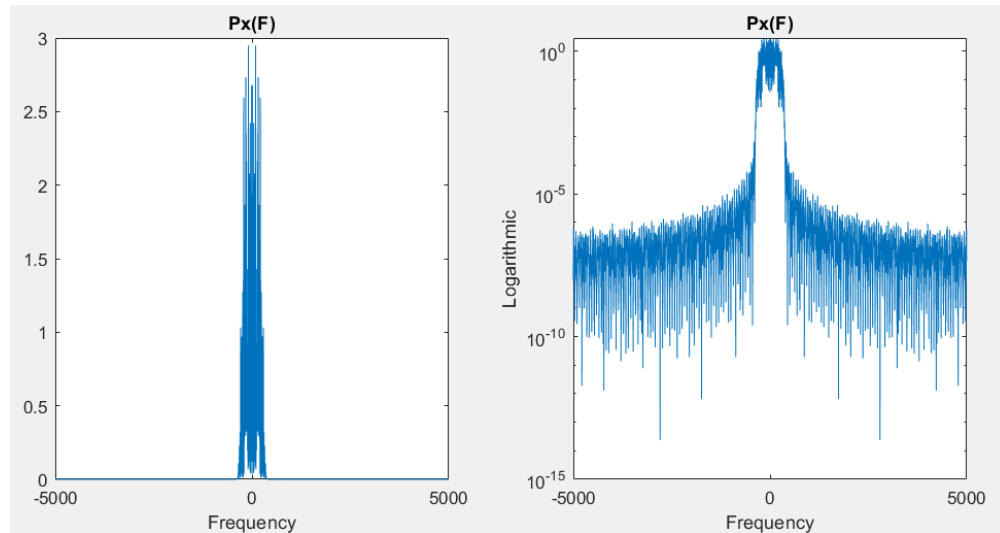
και ο κώδικας Matlab:

```
1 %% A.4
2 %-----2-----
3 figure;
4 subplot(1,2,1);
5 plot(f_axis, Px_F_estimated);
6 hold on;
7 plot(f_axis, Px_F_estimated_4PAM);
8 title("P_X(F)");
9 xlabel("Frequency");
10 legend("2PAM", "4PAM");
11 xlim([-Fs/2 Fs/2]);
12 hold off;
13
14 subplot(1,2,2);
15 semilogy(f_axis, Px_F_estimated);
16 hold on;
17 semilogy(f_axis, Px_F_estimated_4PAM);
18 title("P_X(F)");
19 xlabel("Frequency");
20 legend("2PAM", "4PAM");
21 xlim([-Fs/2 Fs/2]);
22 hold off;
```

A.5 (10) Να επαναλάβετε το βήμα A.3, θέτοντας περίοδο συμβόλου $T' = 2T$ (να διατηρήσετε την περίοδο δειγματοληψίας T_s ίση με αυτή των προηγούμενων βημάτων, άρα, θα πρέπει να διπλασιάσετε την παράμετρο over).

Λύση:

Ακολουθήθηκε η ίδια διαδικασία με το ερώτημα **A.3**, με $T' = 2 \cdot 10^{-3}$ και $over' = 20$. Παρακάτω παρουσιάζεται το περιοδόγραμμα $P_X(F)$ σε δεκαδική και λογαριθμική κλίμακα:



```

1 %% A.5
2 T = 2*T;
3 over = 2*over;
4 % Create the new pulse
5 [phi, t] = srrc_pulse(T, over, A, a);
6
7 phi_F = fftshift(fft(phi, Nf)*Ts);
8 abs_phi_F = abs(phi_F);
9 phi_Energy = power(abs_phi_F,2);
10
11 % 2-PAM bits generator
12 b = (sign(randn(N, 1)) + 1)/2;
13 x = bits_to_2PAM(b);
14
15 % Upsample the 2-PAM bit vector
16 upsample_x = (1/Ts)*upsample(x, over);
17 upsample_x_time = 0:Ts:N*T-Ts;
18
19 % Convolution of X and phi to compute the sum
20 X = conv(upsample_x, phi)*Ts;

```

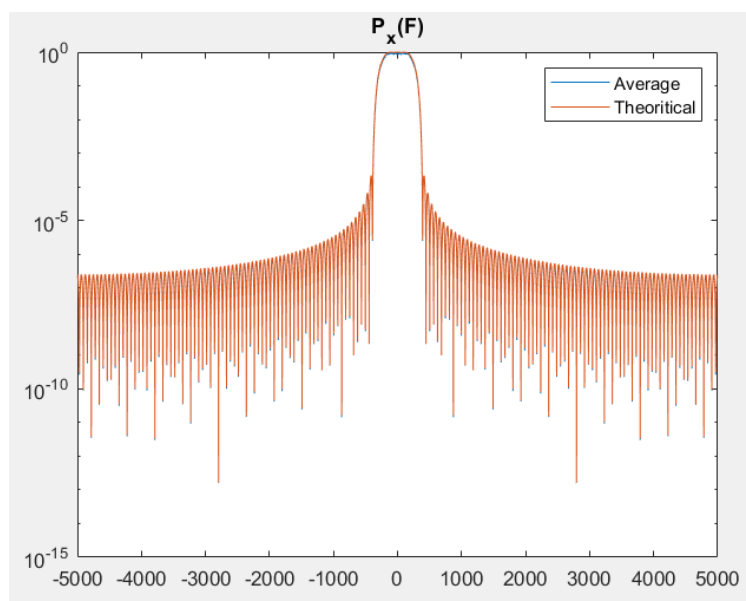


```

21 X_time = upsample_x_time(1)+t(1):Ts:upsample_x_time(end)+t(end);
22
23 %-----1-----
24 % Create the periodogram
25 X_F = fftshift(fft(X, Nf)*Ts);
26 num = power(abs(X_F),2);
27 T_total = X_time(end) - X_time(1);
28 Px_F = num/T_total;
29
30 % Visualize Px(F) and RF Rx(F) using log scale
31 figure;
32 subplot(1,2,1);
33 plot(f_axis, Px_F);
34 title("Px(F)");
35 xlabel("Frequency");
36 xlim([-Fs/2 Fs/2]);
37
38 subplot(1,2,2);
39 semilogy(f_axis, Px_F);
40 title("Px(F)");
41 xlabel("Frequency");
42 ylabel("Logarithmic");
43 xlim([-Fs/2 Fs/2]);

```

Και όμοια πάλι με το ερώτημα **A.3**, προκύπτει το κοινό διάγραμμα για την θεωρητική και την εκτιμώμενη φασματική πυκνότητα ισχύος:

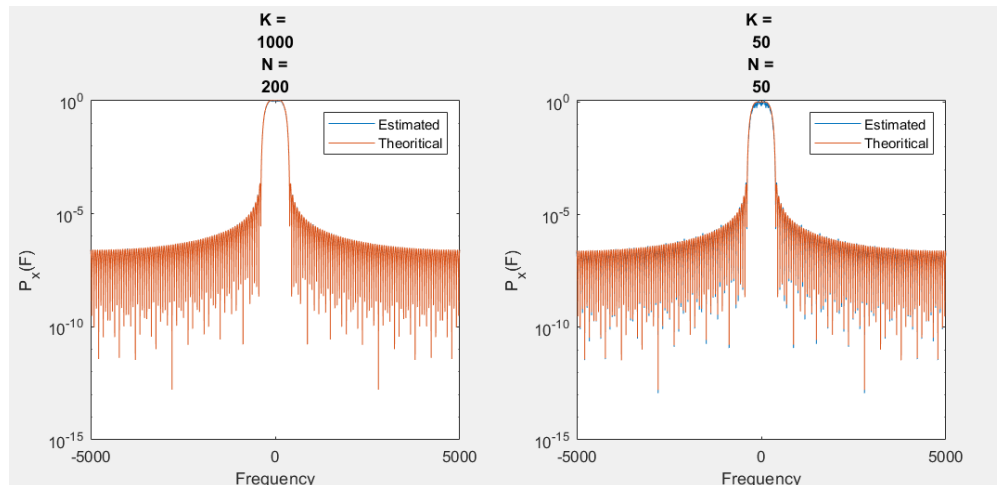


```

1 %% A.5
2 %-----2-----
3 Px_F_total_2T = 0;
4 K = 500;
5 for i=1:K
6     % 2-PAM bits generator
7     b = (sign(randn(N, 1)) + 1)/2;
8     x = bits_to_2PAM(b);
9
10    % Upsample the 2-PAM bit vector
11    upsample_x = (1/Ts)*upsample(x, over);
12
13    % Convolution of X and phi to compute the sum
14    X_t = conv(upsample_x,phi)*Ts;
15
16    % Fourier Transform
17    X_F = fftshift(fft(X_t, Nf)*Ts);
18    % Create the periodogram
19    num = power(abs(X_F),2);
20    Px_F_total_2T = Px_F_total_2T + (num/T_total);
21 end
22 Px_F_estimated_2T = Px_F_total_2T/K;
23 Px_F_theoritical = 1/T*phi_Energy;
24
25 figure;
26 semilogy(f_axis,Px_F_estimated_2T,f_axis,Px_F_theoritical);
27 legend("Estimated","Theoritical");
28 title("P_x(F)");
29 xlim([-Fs/2 Fs/2]);
30 legend("Average","Theoritical");

```

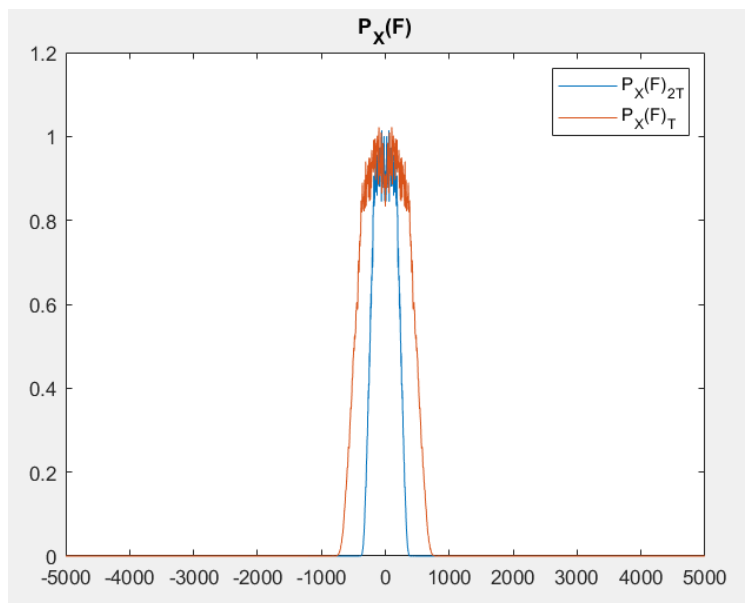
Τέλος χρησιμοποιώντας διαφορετικά K και N προκύπτουν τα παρακάτω διαγράμματα:



(5) Τι παρατηρείτε σχετικά με το εύρος φάσματος των κυματομορφών σε αυτή την περίπτωση σε σχέση με αυτό των κυματομορφών του βήματος A.3; Μπορείτε να εξηγήσετε το φαινόμενο;

Λύση:

Κάνοντας κοινό plot των περιοδογραμμάτων των 2 ερωτημάτων:



Γίνεται εύκολα αντιληπτό ότι για $T' = 2T$ μειώνεται εμφανώς το εύρος φάσματος, πράγμα που επιβεβαιώνεται και από την θεωρία αφού $BW = \frac{1+\alpha}{2T}$.

A.6 (2.5) Αν θέλατε να στείλετε δεδομένα όσο το δυνατό ταχύτερα έχοντας διαθέσιμο το ίδιο εύρος φάσματος, θα επιλέγατε 2-PAM ή 4-PAM, και γιατί;

Λύση:

Για να επιτευχθεί η ταχύτερη διάδοση δεδομένων έχοντας διαθέσιμο το ίδιο εύρος φάσματος, θα επιλέγαμε 4-PAM καθώς αντιστοιχίζονται δύο bits ανα σύμβολο σε αντίθεση με το 2-PAM που αντιστοιχίζεται ένα. Επομένως στέλνονται περισσότερα bits πληροφορίας στον ίδιο χρόνο.

(2.5) Αν το διαθέσιμο εύρος φάσματος είναι πολύ ακριβό, θα επιλέγατε περίοδο συμβόλου T ή $T' = 2T$, και γιατί;

Λύση:

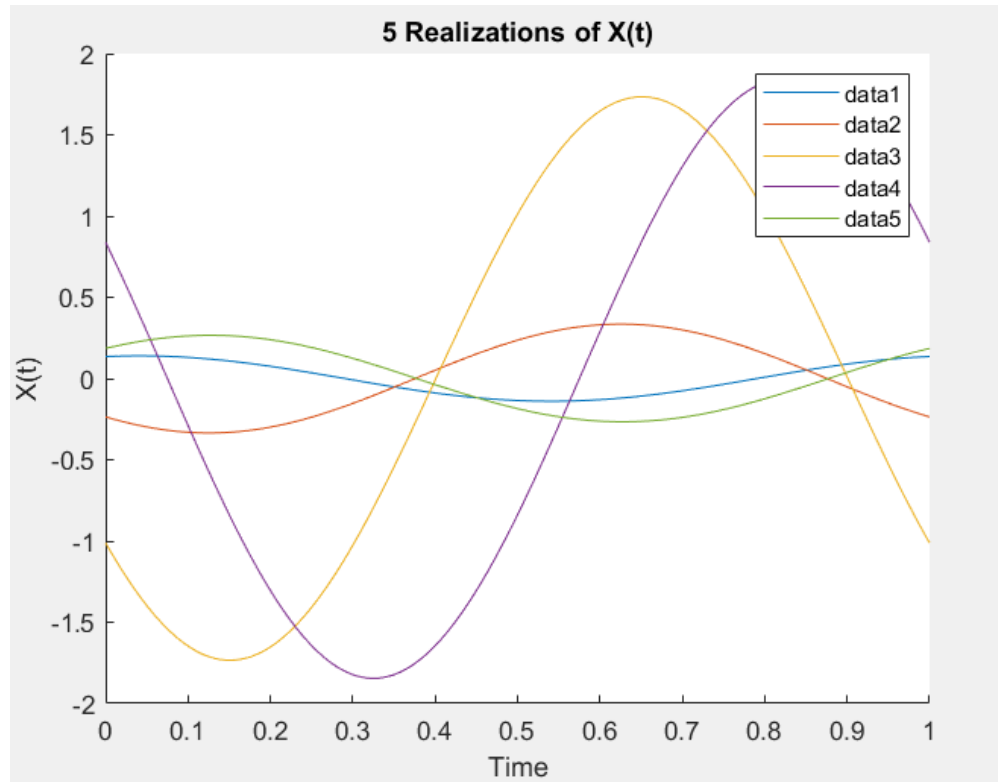
Αν το διαθέσιμο εύρος φάσματος είναι πολύ ακριβό, θα επιλέγαμε περίοδο συμβόλου $T' = 2T$ καθώς, όπως δείξαμε και στο ερώτημα **A.5**, θα έδινε μικρότερο εύρος φάσματος και έτσι θα εξοικονομούσαν στην μετάδοση το μισό φάσμα.

B Έστω

$$Y(t) = X \cos(2\pi F_0 t + \Phi),$$

όπου $X \sim \mathcal{N}(0, 1)$, $\Phi \sim U[0, 2\pi)$, και X, Φ ανεξάρτητες τυχαίες μεταβλητές.

(5) Να σχεδιάσετε σε κοινό plot 5 υλοποιήσεις της.



και ο κώδικας Matlab:

```
1 clear all;
2 close all;
3 %% Variable declaration
4 Fo = 1;
5 T = 1;
6 Fs = 1000;
7 num_of_realizations = 5;
8 %% B.1
9
10 % Create time axis
11 t = linspace(0, T, T*Fs);
12
13 % Plot realizations
14 figure;
15 hold on;
```

```

16 for i = 1:num_of_realizations
17     X = randn;
18     phi = 2*pi*rand;
19     Y = X* cos(2*pi*Fo*t + phi);
20     plot(t, Y);
21 end
22
23 xlabel('Time');
24 ylabel('X(t)');
25 title('5 Realizations of X(t)');
26 legend show;
27 hold off;

```

(10) Να υπολογίσετε τις ποσότητες $E[Y(t)]$ και $R_{YY}(t + \tau, t) = E[(Y(t + \tau)Y(t))]$. Τι διαπιστώνετε;

Λύση:

i) Αρχικά έχουμε:

$$E[Y(t)] = E[X(t) \cdot \cos(2\pi F_0 t + \Theta)] = E[X(t)] \cdot E[\cos(2\pi F_0 t + \Theta)] \quad (1)$$

Επειδή οι X και Θ είναι ανεξάρτητες τυχαίες μεταβλητές, έχουμε:

$$E[X(t)] = E\left[\sum_{n=0}^{N-1} X_n \phi(t - nT)\right] = \sum_{n=0}^{N-1} E[X_n \phi(t - nT)] = \sum_{n=0}^{N-1} E[X_n] \phi(t - nT) = 0 \quad (2)$$

διότι τα X_n προκύπτουν από ομοιόμορφη κατανομή. Επομένως από τις σχέσεις (1) και (2) προκύπτει:

$$E[Y(t)] = 0$$

ii) Στη συνέχεια, έχουμε:

$$\begin{aligned} R_{YY}(t + \tau, t) &= E[Y(t + \tau) \cdot Y(t)] = E[X(t + \tau) \cdot \cos(2\pi f_0(t + \tau) + \Theta) \cdot X(t) \cdot \cos(2\pi f_0 t + \Theta)] \\ &= E[X(t + \tau) \cdot X(t)] \cdot E[\cos(2\pi f_0(t + \tau) + \Theta) \cdot \cos(2\pi f_0 t + \Theta)] \end{aligned}$$

θα θέσουμε $t + \tau = t_1$ και $t = t_2$, οπότε:

$$\begin{aligned} E[X(t + \tau) \cdot X(t)] &= E[X(t_1) \cdot X(t_2)] = E\left[\sum_{n=-\infty}^{\infty} X_n \phi(t_1 - nT) \cdot \sum_{n=-\infty}^{\infty} X_n \phi(t_2 - nT)\right] \\ &= E\left[\sum_{n=-\infty}^{\infty} X_n^2 \cdot \phi(t_1 - nT) \phi(t_2 - nT)\right] = \sum_{n=-\infty}^{\infty} E[X_n^2] \cdot \phi(t_1 - nT) \phi(t_2 - nT) = \end{aligned}$$

$$= \sum_{n=-\infty}^{\infty} \sigma_X^2 \cdot \phi(t + \tau - nT) \phi(t - nT)$$

και επιπλέον έχουμε:

$$\begin{aligned} E[\cos(2\pi f_0 t_1 + \Theta) \cdot \cos(2\pi f_0 t_2 + \Theta)] &= E\left[\frac{1}{2} \cos(2\pi f_0(t_1 - t_2)) + \frac{1}{2} \cos(2\pi f_0(t_1 + t_2) + 2\Theta)\right] = \\ E\left[\frac{1}{2} \cos(2\pi f_0(t_1 - t_2))\right] &+ E\left[\frac{1}{2} \cos(2\pi f_0(t_1 + t_2) + 2\Theta)\right] = \frac{1}{2} \cos(2\pi f_0(t_1 - t_2)) + 0 = \\ \frac{1}{2} \cos(2\pi f_0(t + \tau - t)) &= \frac{1}{2} \cos(2\pi f_0 \tau) \end{aligned}$$

Επομένως:

$$E(Y(t + \tau)Y(t)) = \left(\sum_{n=-\infty}^{\infty} \sigma_X^2 \cdot \phi(t + \tau - nT) \phi(t - nT) \right) \cdot \frac{1}{2} \cos(2\pi f_0 \tau).$$

(5) Να υπολογίσετε τη φασματική πυκνότητα ισχύος, $S_Y(F)$.

Λύση:

Η Φασματική πυκνότητα ισχύος της $Y(t)$ ορίζεται ως $S_Y(F) = \mathcal{F}\{\bar{R}_Y\}$ με $\bar{R}_Y(\tau) \xrightarrow{\mathcal{F}} \bar{R}_Y(F)$.
Άρα έχουμε:

$$\begin{aligned} \bar{R}_Y(\tau) &= \frac{1}{T} \int_{-\frac{T}{2}}^{\frac{T}{2}} R_{YY}(t + \tau, t) dt = \frac{1}{T} \int_{-\frac{T}{2}}^{\frac{T}{2}} R_{XX}(t + \tau, t) \cdot \frac{1}{2} \cos(2\pi f_0 \tau) dt \\ &= \frac{1}{2T} \cos(2\pi f_0 \tau) \cdot \int_{-\frac{T}{2}}^{\frac{T}{2}} R_{XX}(t + \tau, t) dt = \frac{1}{2} \cos(2\pi f_0 \tau) \cdot \bar{R}_X(\tau) \end{aligned}$$

Άρα:

$$S_Y(F) = \frac{1}{2} \mathcal{F}\{\cos(2\pi f_0 \tau) \cdot R_X(\tau)\} = \frac{1}{4} (S_X(F + f_0) + S_X(F - f_0))$$